

茨城大学 工学部 正員 福沢 公夫
 茨城大学 工学部 正員 吳 智深
 茨城大学 工学部 正員 田名部 菊次郎
 ○東燃(株) 正員 吉澤 弘之

1. はじめに

近年、RC構造物の梁やスラブ、高架橋の橋脚等の補修、補強に炭素繊維シートが用いられている。炭素繊維シートの補強効果はコンクリートと炭素繊維シートが接着し、応力を伝達することによって発揮される。炭素繊維シートで補強されたコンクリート梁の最終破壊は炭素繊維シートとコンクリートの界面で生じることがあり、この場合には図1に示すようにコンクリートに生じたき裂近傍の炭素繊維シートとコンクリートの界面が剥離を生じ、このき裂が端部まで進展するか、もしくは炭素繊維シート端部から新たな界面剥離が生じこれが進展し最終破壊となる。

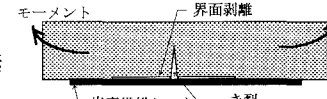


図1 モーメント作用時の界面剥離

炭素繊維シートとコンクリートのせん断剥離破壊は、平均せん断強度で整理し設計を行っている。しかし、実際の剥離挙動はモードII型の剥離進展である。この破壊は鉄筋とコンクリートの付着破壊が主体と大きく異なる界面の剥離進展による脆的な破壊で、コンクリートと炭素繊維シート界面の局所的な応力状態、付着の状態等により急激に剥離が発展する可能性がある。

炭素繊維シート補強による構造物の補強設計では、シートの剥離を正しく算定できる合理的な設計法の確立が重要である。そこで本研究ではその基本的なパラメータとして炭素繊維シートとコンクリート界面のせん断剥離エネルギーに関して検討した。

2. 試験方法について

せん断剥離き裂の進展に対する実験方法は種々あるが、本研究では図2に示す予き裂入りのせん断試験片を用いた。アルミ板とフォームコアに対してこの方法で行われた試験¹⁾では最大荷重、すべりせん断破壊による界面剥離破壊によるエネルギー開放率がばらつき無く、安定的に得られている。この試験でのエネルギー開放率の算出の考え方方は、脆的な剥離進展を開始する最大荷重時までに試験体（図2ではコンクリート部）に蓄えられるせん断変形によるエネルギーが全てき裂の進展に使われると考え、コンクリートのせん断変形は微小で線形を仮定している。なお、エネルギー開放率の算出に必要なデータは最大剥離荷重、コンクリートのせん断弾性率である。

3. 試験概要

図2に示す炭素繊維シートとコンクリートの界面に離型フィルムにより長さ2a_oの予き裂を入れたせん断試験体を用い試験を行った。炭素繊維シートはサッカーレンを行ったコンクリート表面にエポキシ樹脂で接着した。炭素繊維シート上部に設けたタブよりピンチャックで荷重を荷重制御で負荷した。試験片の両端は鋼板により変位を拘束した。試験体の寸法はh₁:50mm、h₂:25mm、h₃:150mm、2a_o:62.5, 75, 100mmとした。

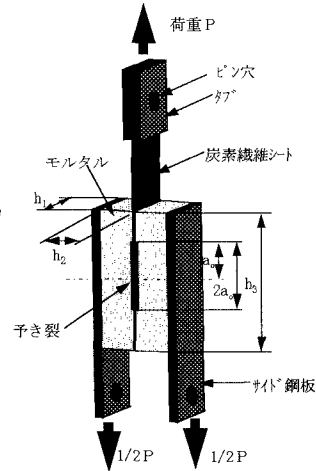


図2 試験体概要

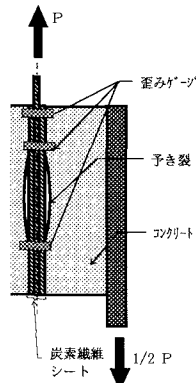


図3 試験体拡大図

表1 材料諸物性

	圧縮・破断強度 kgf/cm ²	弾性率 10 ⁶ kgf/cm ²	ボアン比
コンクリート	σ_c (圧縮) =510	0.224	0.159
高強度炭素繊維シート	σ_t (引張)=46,300 (spec. >35,500)	2.35	0.30

炭素繊維シート：目付
設計厚さ 0.011cm

4. 試験結果

表2にき裂長さと最大荷重等を示す。破壊モードは炭素繊維シートとコンクリート界面の滑りせん断破壊を示すものと、予き裂先端より約45度方向のコンクリート内部にき裂が進展し界面に進展しないもの2種類となった。き裂先端からコンクリート内部にき裂が進展したものの（破壊モード×の試験体）は平均値を求める際には除外した。

破壊がき裂先端から開始するかどうかの確認試験を、図3のようにひび割れ先端と炭素繊維シートの付け根の部分に通常のゲージをクラックゲージの替わりに使用し行った。コンクリートと炭素繊維シートとの界面で滑りせん断破壊を示すモードでは、図4に示すように、破壊は予き裂先端より進展した。

すべりせん断破壊によるエネルギー開放率 G_{IIc} 、平均せん断応力 τ_{mean} は以下の式で求めた。

$$G_{IIc} = \frac{F_d^2 h_2}{4G_c h_1^2 (h_3 - 2a_0)^2}$$

$$= \tau_{mean} \frac{h_2}{G_c}$$

ここで

$$\tau_{mean} = \frac{F_d}{2h_1(h_3 - 2a_0)}$$

F_d :最大剥離荷重 kgf

G_c :94900 kgf/cm²

上式より求めたエネルギー開放率 G_{IIc} と
き裂長さの関係を図5に示す。き裂長さ
が長くなると G_{IIc} は本実験では若干の
増加傾向を示すが、平均すると約6.0 J/m²となる。平均せん断
応力 τ_{mean} は図6に示すように炭素繊維シートの付着長さが長くな
ると減少する。この傾向は通常の炭素繊維シートの付着試験²⁾と同
様である。

5. 結び

今後すべりせん断破壊によるエネルギー開放率の寸法効果等を検討し、コンクリートと炭素繊維シートの付着に関して更に詳しく検討する予定である。また、有限要素法を用いて、剥離破壊エネルギーを考慮した構造物の剥離破壊解析を行いたいと考えている。なお、この研究はC C A協議会の協力を得て実施した。

参考文献

- 1) T. C. Triantafillou, L. J. Gibson, "Debonding in form-core sandwich panels." Materials and Structures 1989, 22, 64-69
- 2) 吉澤他 「炭素繊維シートとコンクリートの定着挙動」 土木学会第50回学術講演 V-201 (平成7年)

図5 き裂長さと G_{IIc} の関係

表2 試験結果

き裂長さ 2a ₀ mm	試片 No.	最大 剥離 荷重 P _d kgf	平均 せん断 応力 τ_{mean} kgf/cm ²	せん断剥離 エネルギー 開放率 G_{IIc} J/m ²	破壊 モード 判定
62.5	1	1255	14.26	5.25	○
	2	1295	14.80	5.66	○
	3	1200	13.70	4.85	○
	4	1188	12.57	4.24	○
	5	1210	12.87	4.28	×
	av.	1235	13.81	5.0	
75	1	1195	15.22	6.05	×
	2	1110	14.36	5.47	○
	3	1125	14.75	5.89	○
	4	1215	15.45	6.39	○
	5	1152	14.67	5.71	○
	av.	1151	14.8	5.9	
100	1	1038	18.57	9.45	×
	2	975	17.61	8.11	×
	3	975	18.75	9.19	×
	4	1007	16.99	7.57	○
	5	894	16.50	7.12	○
	av.	951	16.7	7.3	

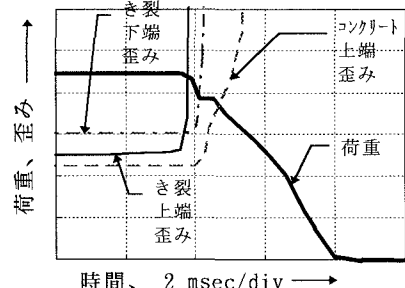


図4 き裂進展状況

